

Влияние микроволнового облучения на сопротивление омических контактов $\text{Au}-\text{TiB}_x-\text{Ge}-\text{Au}-n-n^+-n^{++}\text{-GaAs}(\text{InP})$

© А.Е. Беляев, А.В. Саченко, Н.С. Болтовац^{*¶}, В.Н. Иванов*, Р.В. Конакова[¶], Я.Я. Кудрик, Л.А. Матвеева, В.В. Миленин, С.В. Новицкий, В.Н. Шеремет

Институт физики полупроводников им. В.Е. Лашкарева Национальной академии наук Украины, 03028 Киев, Украина

* Государственное предприятие НИИ „Орион“, 03057 Киев, Украина

(Получена 24 августа 2011 г. Принята к печати 12 сентября 2011 г.)

Экспериментально и теоретически исследованы температурные зависимости удельного контактного сопротивления ρ_c омических контактов $\text{Au}-\text{TiB}_x-\text{Ge}-\text{Au}-n-n^+-n^{++}(\text{GaAs})-\text{InP}$ до и после кратковременной (10 с) микроволновой обработки. Показано, что после микроволновой обработки ρ_c может уменьшаться во всем температурном интервале измерений 100–400 К. Получено хорошее согласие экспериментальных и теоретических зависимостей $\rho_c(T)$, объяснение дано в предположении изменения плотности дислокаций в приконтактной области полупроводника, стимулированного микроволновым излучением.

1. Введение

Арсенид галлия и фосфид индия являются основными полупроводниками материалами, применяемыми для изготовления на их основе микроволновых дискретных приборов и интегральных схем [1–3]. Наряду с высоким качеством исходных полупроводниковых структур одним из основных условий надежной работы таких приборов является наличие низкоомных термостабильных высоконадежных омических контактов к ним.

В соответствии с существующими моделями омического контакта с ростом температуры величина удельного контактного сопротивления ρ_c либо уменьшается, что характерно для термоэмиссионного и термополевого механизмов токопереноса, либо практически не зависит от температуры, что характерно для полевой эмиссии. Считается, что именно эти механизмы токопереноса и реализуются в омических контактах [4,5].

В то же время недавно появилось несколько работ, в которых температурная зависимость ρ_c сплавных омических контактов не подчиняется общепринятой, а именно при увеличении температуры измерений ρ_c возрастает [5–9], что связывается с металлической проводимостью шунтов, локализованных на дислокациях, сформировавшихся в приконтактной области полупроводника. Подобные качественные изменения ρ_c с увеличением температуры измерений отмечали также авторы [10,11] в омических контактах к n -GaN и к $p(n)$ -InP [12]. В [13], в отличие от указанных работ, было получено количественное соответствие расчетной температурной зависимости ρ_c экспериментальной при учете наличия в приконтактной области полупроводника высокой плотности дислокаций и прохождения тока через металлические шунты с его ограничением диффузионным подводом электронов.

Однако в подобных сплавных омических контактах, несмотря на прошедшую в процессе формирования контактов релаксацию внутренних механических напряжений (ВМН), сохраняется достаточно высокий уровень остаточных ВМН, понизить который, как было показано в [14,15] на примере контактной металлизации $\text{Au}-\text{TiB}_x-\text{Al}-\text{Ti}-n\text{-GaN}$, можно при воздействии на нее кратковременным микроволновым излучением. При этом в зависимости от механизма релаксации возможно изменение плотности дислокаций в приконтактной области, обнаружить которое, в соответствии с данными [13], можно из зависимости $\rho_c(T)$.

Цель данной работы состоит в исследовании особенностей температурной зависимости ρ_c в диапазоне температур $T = 100$ –400 К до и после кратковременного (10 с) микроволнового облучения омических контактов $\text{Au}-\text{TiB}_x-\text{Ge}-\text{Au}-n-n^+-n^{++}\text{-GaAs}(\text{InP})$.

2. Методика эксперимента

Исследовались омические контакты $\text{Au}(0.2 \text{ мкм})-\text{TiB}_x(0.1 \text{ мкм})-\text{Ge}(0.04 \text{ мкм})-\text{Au}(0.18 \text{ мкм})-n-n^+-n^{++}\text{-GaAs}(\text{InP})$, приготовленные методом магнетронного распыления металлов и TiB_x на подогретые до 100°C $n-n^+-n^{++}$ -структуры на основе GaAs или InP, выращенные методом газофазовой эпитаксии на подложках $n^{++}\text{-GaAs}(100)$, $n^{++}\text{-InP}(100)$. Удельное контактное сопротивление до и после микроволнового облучения в течение 10 с на частоте 2.45 ГГц удельной мощностью 1.5 Вт/см² измерялось с помощью transmission line method (TLM) [4] в температурном диапазоне $T = 100$ –400 К. До и после микроволнового облучения измерялись радиусы кривизны R контактных систем на профилометре-профилографе П201. В процессе микроволновой обработки температура образцов не превышала комнатной. До и после микроволновой обработки зависимости $\rho_c(T)$ рассчитывались по теории, предложенной в [13]. Концентрация легирующей при-

^{*} E-mail: konakova@isp.kiev.ua
[¶] E-mail: bms@isp.kiev.ua

меси составляла в n -GaAs 10^{15} см^{-3} , в n^+ -слое $\sim 5 \cdot 10^{17} \text{ см}^{-3}$, в n^{++} -подложке $\sim 2 \cdot 10^{18} \text{ см}^{-3}$, толщины 2, 3 и 300 мкм соответственно. Концентрация легирующей примеси составляла в n -InP $\sim 9 \cdot 10^{15} \text{ см}^{-3}$, в n^+ -слое $\sim 5 \cdot 10^{17} \text{ см}^{-3}$, в n^{++} -подложке $\sim 10^{18} \text{ см}^{-3}$, толщины 2, 3 и 300 мкм соответственно.

Омические контакты к InP и GaAs создавались в процессе быстрого термического отжига при температурах 450 и 520°C соответственно. Судя по литературным данным [5–10, 16], при этих температурах формируются сплавные омические контакты к InP и GaAs, в которых при остывании до комнатной температуры в результате релаксации ВМН в приконтактной области возникает высокая плотность структурных дефектов (дислокаций) [5, 16], превышающая, по оценкам [5], 10^7 см^{-2} и влияющая на механизм протекания тока.

3. Модельные представления

В соответствии с [13] температурную зависимость полного контактного сопротивления $\rho_c(T)$ с учетом диффузионного подвода электронов и сопротивления шунтов можно рассчитать по формуле

$$\rho_c(T) = \frac{kT}{q} \frac{(1 + 0.6\beta)}{(qV_T/4)e^{y_{c0}}\pi L_{D1}^2 n_w N_{D1}} + \frac{\rho_0(1 + \alpha T)d_D}{\pi r^2 N_{D1}}, \quad (1)$$

где k — постоянная Больцмана, T — температура, q — заряд электрона, V_T — средняя тепловая скорость электронов, $y_{c0} = q\varphi_{c0}/kT$ — равновесный безразмерный потенциал на границе раздела металл–полупроводник, n_w — объемная концентрация электронов, которая при низких температурах становится меньше концентрации доноров, $D_n = kT\mu_n/q$ — коэффициент диффузии электронов, μ_n — подвижность электронов, $\beta = (V_T L_D / 4D_n)e^{y_{c0}}$ — коэффициент, учитывающий ограничение тока диффузионным подводом, L_D — длина экранирования Дебая, N_{D1} — плотность проводящих дислокаций, ρ_0 — удельное сопротивление металла при $T = 0^\circ\text{C}$, α — его температурный коэффициент, r — радиус металлических шунтов, d_D — расстояние, которое электроны проходят по дислокации из объема полупроводника до сплошного металлического контакта.

Из приведенной выше формулы следует, что $\rho_c(T)$ существенно зависит от хода температурной зависимости подвижности электронов, а именно $\rho_c(T) \propto 1/\mu(T)$, от температурной зависимости сопротивления металлических шунтов и, кроме того, величина $\rho_c(T)$ обратно пропорциональна плотности проводящих дислокаций в приконтактной области полупроводника. Температурная зависимость ρ_c до и после микроволновой обработки была рассчитана по формуле (1) с учетом механизмов рассеяния электронов на заряженных примесях, на дислокациях и на оптических фононах для n -GaAs и n -InP из соответствующих формул, приведенных в [17].

4. Эксперимент и обсуждение результатов

На рис. 1 приведены экспериментальные и теоретические температурные зависимости ρ_c до и после микроволновой обработки в течение 10 с омических контактов Au–TiB_x–Au–Ge– n – n^+ – n^{++} –GaAs.

Теоретическое моделирование температурных зависимостей контактного сопротивления в омических контактах на основе арсенида галлия было выполнено с использованием механизма формирования контактного сопротивления в полупроводниках с большой плотностью дислокаций. Достаточно хорошая подгонка теоретических зависимостей к экспериментальным достигается при концентрации проводящих дислокаций в приконтактной области GaAs $\sim 10^8 \text{ см}^{-2}$. Оказалось, что в исходных контактах, не подвергнутых СВЧ обработке, плотность проводящих дислокаций составляет $1.1 \cdot 10^8 \text{ см}^{-2}$, а после СВЧ обработки в течение 10 с возрастает до $2 \cdot 10^8 \text{ см}^{-2}$.

Экспериментальные и рассчитанные по формуле (1) температурные зависимости ρ_c омических контактов на основе InP приведены на рис. 2. Соответствие экспериментальных и теоретических зависимостей было получено при концентрациях проводящих дислокаций, несколько больших, чем в приконтактной области GaAs. Оказалось, что в исходных контактах, не подвергнутых СВЧ обработке, плотность проводящих дислокаций составляет $2.7 \cdot 10^8 \text{ см}^{-2}$. При СВЧ обработке в течение 10 с она возрастает до $3.9 \cdot 10^9 \text{ см}^{-2}$.

Наблюдаемое в обоих случаях (омические контакты к GaAs и InP) уменьшение величины ρ_c после микроволновой обработки можно объяснить, если предположить, что оно связано с процессом релаксации ВМН в сплавных омических контактах и генерации вследствие этого дислокаций в приконтактной области

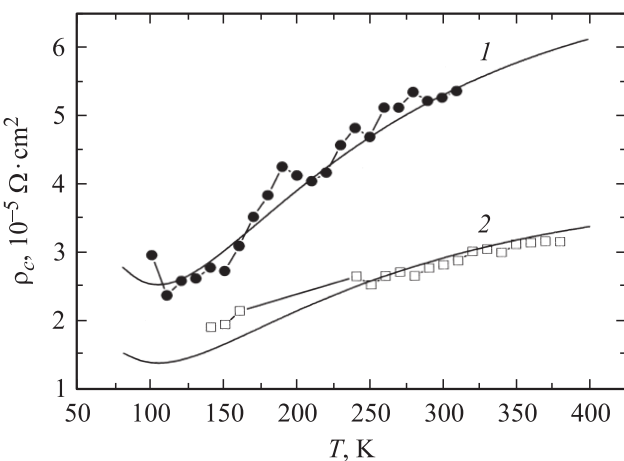


Рис. 1. Экспериментальные (точки) и теоретические (сплошная линия) температурные зависимости ρ_c до (1) и после (2) микроволновой обработки в течение 10 с омических контактов Au–TiB_x–Ge–Au– n – n^+ – n^{++} –GaAs.

Влияние микроволнового облучения на радиус кривизны структур

Типы структур с омическими контактами	Радиус кривизны R, м	
	исходный, до облучения	после микроволнового облучения (10 с)
Au-TiB _x -Ge-Au-n-n ⁺ -n ⁺⁺ -InP	9.7	11.39
Au-TiB _x -Ge-Au-n-n ⁺ -n ⁺⁺ -GaAs	6.5	9

полупроводника: с увеличением плотности проводящих дислокаций в соответствии с формулой (1) ρ_c уменьшается. Поскольку формирование омических контактов к GaAs и InP в нашем случае происходит при температурах превышающих характерные для эвтектики Au-Ge ($T_{eu} \approx 356^\circ\text{C}$ [18]), Au-Ga-As ($T_{eu} \approx 341^\circ\text{C}$ [19]), Au-Ga ($T_{eu} \approx 348^\circ\text{C}$ [16]), γ' -фазы Au₉In₄ (температура образования $\sim 400^\circ\text{C}$) и твердых растворов Au₄In, Au₃In (температура образования $\sim 350^\circ\text{C}$) [20], то образовавшийся в процессе остывания переходный слой с составом, близким к эвтектическому, по данным [21], должен соответствовать минимуму свободной энергии. Тогда плотность дислокаций в приконтактной области, генерированных в результате релаксации ВМН при остывании сплавов от близких температур их формирования до комнатной температуры, для обоих типов контактов будет практически одинакова, что и соответствует вычисленной из зависимости $\rho_c(T)$ плотности дислокаций в необлученных контактах к GaAs $\sim 1.1 \cdot 10^8 \text{ см}^{-2}$ и к InP $\sim 2 \cdot 10^8 \text{ см}^{-2}$.

Однако сформированная в процессе отжига и последующего остывания граница раздела вследствие многофазности образовавшихся твердых растворов и эвтектических сплавов оказывается зернистой и структурно неоднородной [16]. Скопления неоднородностей различаются структурными параметрами и составом. Так, γ' -фаза состава Au₉In₄ имеет структурную решетку кубическую

с параметром $a = 0.982 \text{ нм}$, в InP $a = 0.587 \text{ нм}$, а для AuIn₂ характерна структурная решетка кубическая типа CaF₂ (C1) с $a = 0.651 \text{ нм}$ [18]. AuGa имеет структурную решетку ромбическую типа MnP (B31) с $a = 0.6397 \text{ нм}$, $b = 0.6267 \text{ нм}$, $c = 0.3421 \text{ нм}$, в GaAs $a = 0.5654 \text{ нм}$. Такое различие в параметрах решетки возникших фаз и базовых полупроводников (GaAs, InP) при релаксации ВМН способно формировать сильно дефектную границу раздела. На реальность такого процесса с образованием „трехмерного“ дефектного слоя в области границы раздела металл–полупроводник указывали авторы [22].

Поскольку механическая прочность InP ниже, чем GaAs (модуль Юнга InP(100) $\sim 61 \text{ ГПа}$, а GaAs(100) $\sim 84.6 \text{ ГПа}$ [23,24]), процессы релаксации ВМН при наличии локальных концентраторов напряжения в области границы раздела металл–полупроводник в InP идут более интенсивно, чем в GaAs. Действительно, в исходных образцах омических контактов к InP и эпитаксиальным структурам на основе GaAs радиус кривизны первых примерно в 1.5 раза выше, чем в GaAs, а после 10 с микроволнового облучения в 1.26 раза (см. таблицу). Это может косвенно свидетельствовать о более высокой плотности структурных дефектов в приконтактной области InP по сравнению с GaAs как в исходных образцах, так и после микроволнового облучения, что находится в соответствии с данными по плотности дислокаций, рассчитанной из измерений $\rho_c : N_{D1}$ в приконтактной области InP выше, чем в GaAs, ρ_c соответственно ниже во всем измеряемом диапазоне температур. Отметим при этом, что наряду с увеличением плотности дислокаций в приконтактной области GaAs и InP вследствие известного механизма массопереноса атомов германия, являющегося донорной примесью в обоих материалах, формируется тонкий n^+ -слой [16], обеспечивающий низкоомные омические контакты к GaAs и InP.

Остановимся на возможном атермическом механизме релаксации ВМН, стимулированном микроволновым облучением, связанным с возникновением диссипативных структур [25]. Если рассматривать сильно неоднородный переходный слой в контакте металл–полупроводник, насыщенный структурными дефектами (дислокациями), как диссипативную структуру, возникшую в результате релаксации сильно неравновесной контактной системы к термодинамическому равновесию при ее остывании, появляется дополнительный канал перераспределения энергии электромагнитного излучения, связанный с диссипативной структурой проводящих дислокаций (металл–

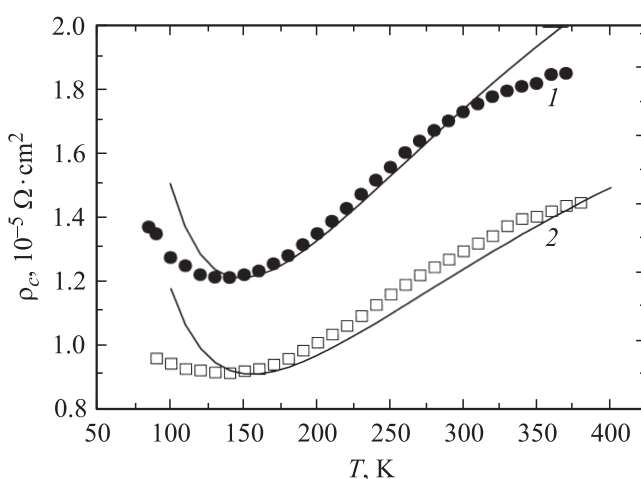


Рис. 2. Экспериментальные (точки) и теоретические (сплошная линия) температурные зависимости ρ_c до (1) и после (2) микроволновой обработки в течение 10 с омических контактов Au-TiB_x-Ge-Au-n-n⁺-n⁺⁺-InP.

лических шунтов, локализованных на дислокациях) в приконтактном слое полупроводника, что может обеспечить переход системы в новое устойчивое состояние. Нам представляется, что некоторое качественное согласие с этим предположением мы получили. Однако для установления доминирующих механизмов изменений в сильно дефектной приконтактной области полупроводника, возникающей после кратковременного микроволнового облучения, требуются детальные структурные исследования приконтактной области полупроводника, что представляет самостоятельную весьма сложную задачу.

5. Заключение

Теоретические оценки ρ_c до и после микроволновой обработки омических контактов к GaAs и InP в течение 10 с показали, что его величина уменьшается в соответствии с увеличением плотности дислокаций в приконтактной области полупроводника, обусловленной релаксацией внутренних механических напряжений в омическом контакте, что подтверждается увеличением радиуса кривизны контактных систем и находится в соответствии с экспериментально измеренными величинами ρ_c в диапазоне температур 100–400 К.

Работа поддержана проектом Ф 40.2/033 Государственного агентства Украины по вопросам науки, инноваций и информатизации.

Список литературы

- [1] S.M. Sze, Kwok K. Ng. *Physics of Semiconductor Devices* (John Wiley & Sons Inc., 2007).
- [2] H. Eisele, G.I. Haddad. IEEE Trans. MTI **46** (6), 739 (1998).
- [3] St.J. Dixon-Warren, S. Zhang, R. Kuchibhatla, E.M. Griswold, A. Shen, F. Zheng, S.R. Das. Thin Sol. Films, **472**, 76 (2005).
- [4] D.K. Schroder. *Semiconductor materials and devices characterization* (John Wiley & Sons Inc., 2006).
- [5] Т.В. Бланк, Ю.А. Гольдберг. ФТП, **41** (11), 1281 (2007).
- [6] Т.В. Бланк, Ю.А. Гольдберг, О.В. Константинов, В.Г. Никитин, Е.А. Поссе. Письма ЖТФ, **30** (19), 17 (2004).
- [7] Т.В. Бланк, Ю.А. Гольдберг, О.В. Константинов, В.Г. Никитин, Е.А. Поссе. ФТП, **40** (10), 1204 (2006).
- [8] Т.В. Бланк, Ю.А. Гольдберг, Е.А. Поссе. ФТП, **43** (9), 1204 (2009).
- [9] В.Н. Бессолов, Т.В. Бланк, Ю.А. Гольдберг, О.В. Константинов, Е.А. Поссе. ФТП, **42** (11), 1345 (2008).
- [10] Lu Changzhi, Chen Hoagnai, Lv Xiaoliang, Xie Xuesong, S.N. Mohamad. J. Appl. Phys., **91** (11), 9218 (2002).
- [11] Yue-Zong Zhang, Shi-Wei Feng, Chun-Sheng Guo, Guang-Chen Zhang, Si-Xiang Zhuang, Rong Su, Yun-Xia Bai, Chang-Zhi Lu. Chin. Phys. Lett., **25** (11), 4083 (2008).
- [12] T. Clausen, O. Leistikko, I. Chorkendorff, J. Larsen. Thin Sol. Films, **232** (2), 215 (1993).
- [13] А.В. Саченко, А.Е. Беляев, Н.С. Болтовец, Р.В. Конакова, Я.Я. Кудрик, С.В. Новицкий, В.Н. Шеремет. Нитриды галлия, индия и алюминия. Структуры и приборы. Тез. докл. 8-й Всеросс. конф. (Санкт-Петербург, 2011) с. 229.
- [14] А.Е. Беляев, Н.С. Болтовец, В.Н. Иванов, Р.В. Конакова, Е.Ю. Колядина, Я.Я. Кудрик, Л.А. Матвеева, В.В. Миленин, В.Н. Шеремет. Тр. 18-й Крымской конф. „СВЧ-техника и телекоммуникационные технологии“ (Севастополь, Вебер, 2008).
- [15] А.Е. Беляев, Н.С. Болтовец, С.А. Витусевич, В.Н. Иванов, Р.В. Конакова, Я.Я. Кудрик, А.А. Лебедев, В.В. Миленин, Ю.Н. Свешников, В.Н. Шеремет. ФТП, **44** (6), 775 (2010).
- [16] Б.А. Лапшинов, А.Б. Камнев, Л.Н. Кравченко, В.Л. Оплеснин. Зарубеж. электрон. техн., **5**, 58 (1987).
- [17] K. Seeger. *Semiconductor Physics* (Springer-Verlag, Wien, 1973).
- [18] М. Хансен, К. Андерко. *Структуры двойных сплавов* (М., Металлургиздат, 1962) т. 1.
- [19] T. Nakanisi. Jpn. J. Appl. Phys., **12** (11), 1818 (1973).
- [20] В.Г. Божков, Н.М. Панова, К.В. Солдатенко, М.П. Якубеня, В.М. Заводчиков, А.А. Ятис. Электрон. техн. Сер. Материалы, **1** (62), 25 (1982).
- [21] K.N. Tu. Appl. Phys. Lett., **24** (4), 221 (1975).
- [22] В.Г. Божков, К.В. Солдатенко, М.П. Якубеня, В.М. Заводчиков, А.А. Ятис. Изв. вузов. Физика, **28** (1), 8 (1986).
- [23] A. Dargys, J. Kundrotas. *Handbook on physical properties of Ge, Si, GaAs and InP* (Vilnius, Science and Encyclopedia Publ., 1994).
- [24] Ю.А. Концевой, Ю.М. Литвинов, Э.А. Фаттахов. *Пластичность и прочность полупроводниковых материалов и структур* (М., Радио и связь, 1982).
- [25] И.Б. Ермолович, Г.В. Миленин, В.В. Миленин, Р.В. Конакова, Р.А. Редько. ЖТФ, **77** (9), 71 (2007).

Редактор Л.В. Шаронова

Effect of microwave irradiation on resistance of Au-TiB_x-Ge-Au-n-n⁺-n⁺⁺-GaAs(InP) ohmic contacts

A.E. Belyaev, A.V. Sachenko, N.S. Boltovets*, V.N. Ivanov*, R.V. Konakova, Ya.Ya. Kudryk, L.A. Matveeva, V.V. Milenin, S.V. Novitskii, V.N. Sheremet

V.E. Lashkaryov Institute of Semiconductor Physics,
National Academy of Sciences of Ukraine,
03028 Kyiv, Ukraine

* State Enterprise Research Institute „Orion“,
03057 Kyiv, Ukraine

Abstract We studied, both experimentally and theoretically, the temperature dependences of contact resistivity ρ_c of Au-TiB_x-Ge-Au-n-n⁺-n⁺⁺(GaAs)-InP ohmic contacts before and after short-term (10 s) microwave treatment. It is shown that ρ_c may decrease after microwave treatment in the whole temperature range of ρ_c measurements (100–400 K). A good agreement between the theoretical and experimental $\rho_c(T)$ curves is explained assuming that microwave radiation induces variation of dislocation density in the semiconductor near-surface region.